Siehe ähnliche Dateien: http://www.ps.bam.de/NG56/
Technische Information: http://www.ps.bam.de/ Version 2.1, io=1.1

Eingabe: Farbmetrisches Fernseh-Licht-System TLS18 für Buntton $h^* = lab^*h = 35/360 = 0.097$ lab^*tch und lab^*nch

D65: Buntton O
LCH*Ma: 53 87 35
olv*Ma: 1.0 0.0 0.0

Dreiecks-Helligkeit t^*

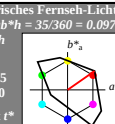

TLS18; adaptierte CIELAB-Daten	$L^*=L^*_a$	a^*_a	b^*_a	$C^*_{ab,a}$	$h^*_{ab,a}$
O_{Ma} 52.74	56.27	71.63	49.88	87.29	35
Y_{Ma} 92.74	−20.02	84.97	87.3	103	
L_{Ma} 84.0	−78.98	73.94	108.2	137	
C_{Ma} 87.14	−44.41	−13.11	46.32	196	
V_{Ma} 35.47	64.92	−95.06	115.12	304	
M_{Ma} 59.01	89.33	−55.67	105.26	328	
N_{Ma} 18.01	0.0	0.0	0.0	0	
W_{Ma} 95.41	0.0	0.0	0.0	0	
R_{CIE} 39.92	58.74	27.99	65.07	25	
J_{CIE} 81.26	−2.88	71.56	71.62	92	
G_{CIE} 52.23	−42.41	13.6	44.55	162	
B_{CIE} 30.57	1.41	−46.46	46.49	272	

%Regularität
$g^*_{H,rel} = 22$
$g^*_{C,rel} = 40$

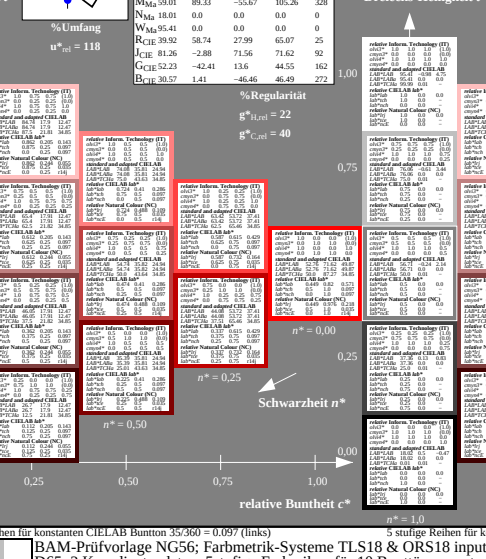

Ausgabe: Farbmetrisches Offset-Reflektiv-System ORS18 für Buntton $h^* = lab^*h = 38/360 = 0.105$ lab^*tch und lab^*nch

D65: Buntton O
LCH*Ma: 48 83 38
olv*Ma: 1.0 0.0 0.0

Dreiecks-Helligkeit t^*

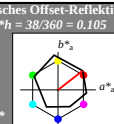

ORS18; adaptierte CIELAB-Daten	$L^*=L^*_a$	a^*_a	b^*_a	$C^*_{ab,a}$	$h^*_{ab,a}$
O_{Ma} 47.94	65.39	50.52	82.63	38	
Y_{Ma} 90.37	−10.26	91.75	92.32	96	
L_{Ma} 50.9	−62.83	34.96	71.91	151	
C_{Ma} 58.62	−30.34	−45.01	54.3	236	
V_{Ma} 25.72	31.1	−44.4	54.22	305	
M_{Ma} 48.13	75.28	−8.36	75.74	354	
N_{Ma} 18.01	0.0	0.0	0.0	0	
W_{Ma} 95.41	0.0	0.0	0.0	0	
R_{CIE} 39.92	58.66	26.98	64.57	25	
J_{CIE} 81.26	−2.16	67.76	67.79	92	
G_{CIE} 52.23	−42.25	11.76	43.87	164	
B_{CIE} 30.57	1.15	−46.84	46.86	271	

%Regularität
$g^*_{H,rel} = 57$
$g^*_{C,rel} = 59$

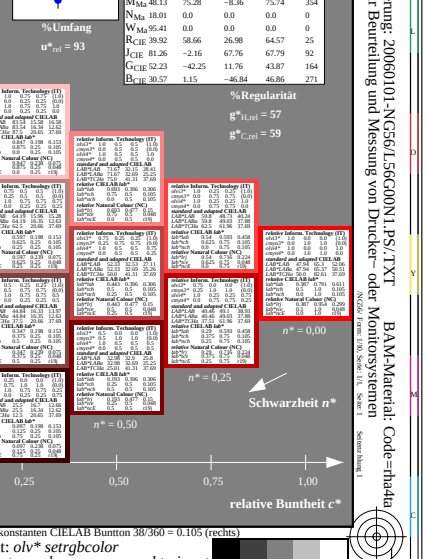

NG560−7, 5 stufige Reihen für konstanten CIELAB Buntton 35/360 = 0.097 (links) 5 stufige Reihen für konstanten CIELAB Buntton 38/360 = 0.105 (rechts)

BAM-Prüfvorlage NG56; Farbmetrik-Systeme TLS18 & ORS18 input: *olv* setrgbcolor*
D65: 2 Koordinatendaten; 5stufige Farbreihen für 10 Bunttöne output: *no change compared to input*